

경주 지역 미고결 각력층의 공학적 특성 분석

An Analysis of the Geotechnical Characteristics of the Uncemented Breccia at Kyeongju District

윤성학*, 이건*, 사상호*, 박세주*, 라일웅**, 천운철**, 조남준***

Yun, Sung-Hak Lee, Kun Sha, Sang-Ho, Park, Sei-Joo Ra, Il-woong Cheon, Yoon-chul Cho, Nam Jun

ABSTRACT

The uncemented breccia consisted of conglomerate and breccia, which are not originated from volcanic clastics, shows wide variation of engineering properties depending on the characteristics of matrix of the uncemented breccia. These uncemented breccia have breccia and matrix irregularly distributed according to their depth and position. Clay minerals are also included in the matrix of these uncemented breccia, so they are expected to show expansive behavior and weakness against weathering process. In this study, the volumetric ratio of breccia on the cores had been calculated using digital image processing technique (*performed on recovered core box and their sections*). The 3-axial compressional strength test had been done with a shaping of rapid cooling method, and the shear strength (c , ϕ) of uncemented breccia due to the breccia content had been calculated by applying BIMROCK model curve suggested by Goodman. A reliable analysis on the engineering properties of uncemented breccia had been also possible by using borehole density logging and borehole loading test for the accurate determination of the unit weight and the deformation constants deformation modulus.

1. 서 론

본 지역에서 발견되는 각력층은 단층작용에 의한 단층면(Fault Scarp)를 따라 퇴적된 각력 위주의 인접 톤서령 선상지 퇴적물로서 층 두께는 최소 20m 이상으로 주로 수십 cm 이상의 거력을 틀로 구성되며 지층 형성시기가 짧아 기질부(matrix)의 고결도(cementation grade)가 낮은 미고결의 퇴적층이다. 이러한 각력층은 각력과 기질의 특성에 좌우되며 고결에 이르는 과정에 있어 결합력이 약해 쉽게 파쇄되며 각력 및 기질이 서로 별로 불균질하게 분포하고 있다. 또한 터널 시공시 굴착 대상지반으로서 강도가 약하고 굴착시 각력의 낙반 및 지하수의 대량 유입 등 막장안정에 위험이 있을 것으로 예상되며 기질에 점토왕률이 포함되어 있는 경우 팽창성 거동 및 봉화에 취약할 것으로 예상된다. 따라서 본 연구에서는 경주지역을 중심으로 분포하고 있는 각력층에 대한 공학적 특성을 각종 실내시험(물성 및 역학시험)과 현장시험을 통해 파악하여 경주지역 개발에 있어서 안전하고 경제적인 설계와 시공에 참고자료를 제공하는데 그 목적이 있다.

* (주)EJtech 토목설계부 과장, 정희원 * (주)EJtech 토목설계부 부장, 정희원 * (주)EJtech 상무이사 * (주)EJtech 대표이사

** (주)삼성건설 토목사업본부 차장, ** (주)삼성건설 토목사업본부 상무이사

***국민대학교 건설시스템공학부 교수

2. 각벽층의 공학적 특성 파악을 위한 조사항목

도표 1의 시험들을 통하여 각벽층의 공학적 특성을 파악하였다.

도표 1. 각벽층의 공학적 특성 파악을 위한 조사항목

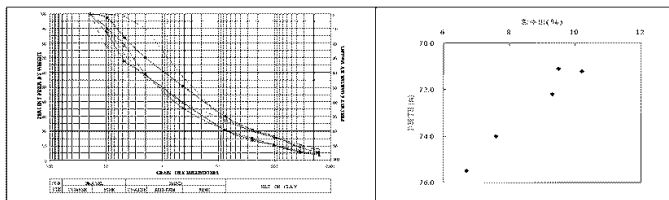
구 분	조 사 항 목	조 사 내 용
현장시험	<ul style="list-style-type: none"> ·공내밀도검증 ·연장투수시험 ·순간수위변화시험 ·S-PS검증 	<ul style="list-style-type: none"> ·시추공을 이용하여 각벽층의 험장밀도 산정 ·각벽층의 무수계수 산정 ·각벽층의 수리전도도 산정 ·각벽층의 동적물성치 산정
실내시험	<ul style="list-style-type: none"> ·함수량 시험 ·x-ray회절 분석 ·암석박편 현미경관찰 ·점화층 강도시험 ·삼축압축시험 ·소형일면천단시험 ·대형일면천단시험 	<ul style="list-style-type: none"> ·심도별 함수량 산정 ·각벽층의 구성광물 분포 확인 ·각벽층 구성광물의 성분 및 함량 확인 ·각벽층의 일축압축강도 산정 (습윤, 건조상태 시료) ·각벽층의 전단강도 산정 (급속냉각으로 시료성형) ·각벽층의 강도경수 산정 ·각벽층의 강도경수 산정

3. 시험결과 및 분석

3.1 물리적 특성

3.1.1 기질부 입도분석 및 함수량 시험

각벽층의 기질(matrix)에 대해서 체분석과 비중계분석 시험을 통하여 입도분석을 실시하였으며, 현장에서 각벽층 시료를 채취하여 함수량 시험을 실시하였다.



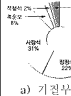
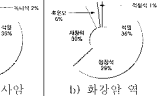
각벽층의 기질에 대한 입도분석 결과 실트섬인 모래(SM)로 분류되었으며, 함수비 시험결과 6.7~10.2%(평균 8.7%)의 범위를 보였다.

3.1.2 현미경관찰 및 Modal 분석

각벽층에 대한 암석-광물학적 특성 파악을 통해 암석 종류 및 암석명을 결정하고 조암광물 등 청 및 구성광물의 반도 상태, 조적적 특징 등의 기재를 통해 암석학적 특성 파악할 수 있었다. 또한 구성광물들의 변화 정도나 패쇄 정도 등을 패악함으로 암석 및 암반의 정성적 강도 특성을 유추할 수 있으나 풍화와 균열특성을 파악할 수 있었다.

도표 2. 암석마루 현미경 관찰결과(%)

암석명	석영	정장석	사광석	흑운모	석천석	자원석	계
기질부 사암	33.94	22.06	31.26	5.52	2.40	0.49	99.64
화강암 역	36.68	28.53	29.80	3.83	0.91	0.07	99.90

a) 기질부 사암
b) 화강암 역

암석박판 현미경 관찰결과 기질부를 대부분 구성하고 있는 광물은 타행의 석영, 정장석, 흑운모 그리고 녹니석과 물무명광물이었으며, 화강암류의 역은 세립~중립질의 석영, 정장석, 사광석이 주 구성 광물이며, 소량의 흑운모와 물무명광물이 함유된 것으로 판별되었다.

3.1.3 X-선 형광분석

X-선 형광분석을 통하여 각력증의 구성하는 주요구성광물에 대한 감정과 절정도에 대한 정보를 정성적으로 판별하고 화산안질 퇴적안류의 기질이나 맷안류의 석기 등 육안이나 현미경상에서 구별할 수 없는 미생질 또는 은이정질의 광물에 대한 정확한 정보를 얻고자 하였다.

도표 3. X-선 형광 분석 결과

암석명	SiO ₂	Al ₂ O ₃	TiO ₂	Fe ₂ O ₃	MnO	MgO	CaO	Na ₂ O	K ₂ O	P ₂ O ₅	조기순실태	함께
기질부 사암	66.61	12.40	0.38	2.54	0.14	1.81	3.24	2.19	3.46	0.01	6.47	99.24
화강암 역	75.41	12.13	0.10	0.93	0.02	0.03	0.29	3.37	4.85	0.01	0.45	97.59

기질부 사암에 대한 X선 형광분석 결과, SiO₂ 함량이 66.61%로 나타나며 화강암 역에 대한 결과 75.41%의 다소 높은 SiO₂함량과 상대적으로 낮은 Al₂O₃함량을 보여 흑운모화강암과 동일한 것으로 보였다.

3.1.4 X-선 회절분석

X-선 회절분석을 통하여 광물의 팽창성 절도율과 함유여부 및 함유량을 분석하여 구조물의 안정성을 판단하는 자료로 활용하였다.

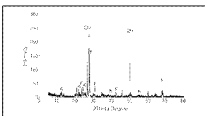


그림 3. X-선 회절분석 결과

구성광물 및 한당미 분석 결과 장석(F) 46.3%, 카울린 나이트(Ka) 45.2%, 석영(Quartz) 7.5%로 나타났다.

3.2 강도 특성

3.2.1 점화증 강도시험

각력증의 역과 기질부에 대해 점화증 강도시험을 실시하여 각력증의 일축압축강도를 산정하였다.

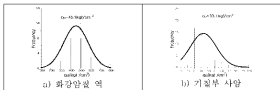


그림 4. 각력증의 역과 기질부에 대한 절하중 강도시험 결과

절하중강도 시험결과 화강암질 역의 일축압축강도는 $168 \sim 714 \text{ kgf/cm}^2$ 의 범위를 보였으며 평균 451 kgf/cm^2 , 기질부 사양은 $0.83 \sim 114.97 \text{ kgf/cm}^2$ 의 범위를 보였으며 평균 33.1 kgf/cm^2 의 강도를 보였다.

3.2.2 소형일면 전단시험(Matrix)

각력증내 기질부의 성형이 불가하여 개성형 시료를 이용해서 강도정수(c, ϕ)를 산정하였다.

도표 4. 기질부의 소형일면 전단시험 결과

구분	수직응력	전단응력	응력 - 변형률 측선	수직응력 - 전단응력 측선
TB-11	0.5	0.14		
	1.0	0.22		
	1.5	0.37 ²		
강도정수	$c : 0.019 \text{ kgf/cm}^2, \phi : 12.6^\circ$			

3.2.3 대형일면 전단시험(각력증)

역과 기질을 혼합한 재성형된 시료를 이용하여 각력증의 강도정수(c, ϕ)를 산정하였다.

도표 5. 각력증의 대형일면 전단시험 결과

구분	수직응력	전단응력	응력 - 변형률 측선	수직응력 - 전단응력 측선
TB-11	1.0	1.05		
	3.0	2.54		
	5.0	4.01		
강도정수	$c : 0.31 \text{ kgf/cm}^2, \phi : 36.5^\circ$			

3.2.4 삼축압축시험

기질(Matrix)의 삼축압축시험을 위한 시료를 급속냉각으로 성형하여 시험을 실시하였다.

도표 6. 기질부 삼축압축 시험결과

공 번	심도(m)	점착력(kgf/cm²)	내부미끄러짐(°)	Shear Stress (kgf/cm²)	Notes
TB-8	24.2	4.34	32.9		
TB-9	25.0	5.45	33.4		
TB-10	38.2	4.13	35.2		
TB-11	17.2	7.27	35.3	$c = 4.13 \sim 7.27 \text{ kgf/cm}^2$ $\phi = 32.9 \sim 35.3^\circ$	

3.2.5 전단강도(c , ϕ) 산정

디지털 영상처리 기법을 활용하여 시추코아로부터 각력충내 각력의 합유량을 측정하였으며 각력의 합유량(부과비)을 구하는 식은 다음과 같다.

$$\text{각력 합유량(부과비)} = \left(\sqrt{\frac{\text{각력 면적}}{\text{시추코아 측면 면적}}} \right)^2 \quad \dots \quad (1)$$

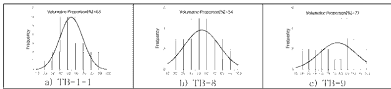


그림 5. 각력의 합유량(부과비) 결과

식 (1)을 이용하여 시추공별로 각력충의 각력합유량 산정결과 54~77%의 범위를 보였으며 평균 63.8%를 나타내었다. 각력합유량 산정결과를 이용하여 Goodman이 제시한 BIMROCK모형곡선을 통해 각력충의 역합유량에 따른 각력충의 전단강도 (c , ϕ)를 산정하였다.

도표 7. 전 각력 산정결과

점착력비	구분	점착력비		점착력, $c(\text{kN}/\text{m}^2)$		평균
		최소값	최대값	최소값	최대값	
	TB-8	52	98	22.6	42.5	32.6
	TB-9			28.3	53.4	40.9
	TB-10			21.5	40.5	31.0
	평균			24.1	45.5	34.8

도표 8. 내부마찰각 산정결과

내부마찰각비	구분	내부마찰각비		내부마찰각, $\phi(^{\circ})$		평균
		최소값	최대값	최소값	최대값	
	TB-8	119	155	39.2	51.0	45.1
	TB-9			39.8	51.8	45.8
	TB-10			41.9	54.6	45.5
	평균			40.3	52.4	46.4

각력충은 역의 합유량이 많아질수록 점착력은 감소하고 내부마찰각은 증가하는 경향을 보였으며 안전측의 설계를 위해 점착력을 BIMROCK모형에 의한 값 30.3t/m², 내부마찰각은 기질부 삼축압축 시험값 35 를 설계정수 값으로 적용하였다.

3.3 변형 특성

각력충의 변형특성을 파악하기 위해 공내재하시험을 이용하여 변형계수를 산정하였다.

도표 9. 각력충의 변형특성

구 분	변형계수(kN/m^2)	단성계수(kN/m^2)	평 균(kN/m^2)
각력충	$1.19 \times 10^3 \sim 7.08 \times 10^4$	$2.61 \times 10^1 \sim 1.31 \times 10^2$	3.56×10^4

3.4 투수 특성

각력층의 투수계수 측정을 위해 현장투수시험과 순간수위면화시험을 실시하였다.

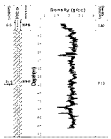
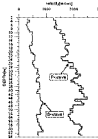
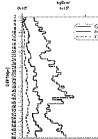
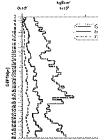
도표 10. 각력층의 투수특성

구분	현장투수시험 (cm/sec)	순간수위 면화시험(cm/sec)	
		Hvorslev	Bouwer & Rice
범위	$2.61 \times 10^{-6} \sim 6.31 \times 10^{-4}$	$1.15 \times 10^{-6} \sim 1.67 \times 10^{-5}$	$4.55 \times 10^{-6} \sim 1.52 \times 10^{-5}$
평균	8.00×10^{-6}	5.75×10^{-6}	5.24×10^{-6}

3.5 동적특성

각력층의 단위충량을 측정하기 위해 풍내일도 검증을 실시하였으며, 그 단위충량값을 이용하여 각력층의 내진설계에 필요한 동적불설계 산정을 위해 S-PS검증을 실시하였다.

도표 11. 각력층의 동적특성

풍내일도검증	S-PS검증		
	속도(V_p, V_s) 분포	G_d, E_d, K_d 분포	G_d, E_d, K_d 분포
			
$\gamma_i = 2.0 \sim 2.2 \text{tf/m}^3$ (평균 2.11tf/m^3)	$V_s = 310 \sim 860 \text{m/sec}$ (평균 820m/sec)	$G_d = 2.000 \sim 16.870 \text{kgf/cm}^2$ $E_d = 5.890 \sim 47.770 \text{kgf/cm}^2$	

4. 결론

역 몇 기성이 충분히 단단하던 토목, 암반구조물의 기초 암반으로 암호하지만(충경질~경질한 것은 진조 일죽암축강도가 $500 \sim 800 \text{kgf/cm}^2$, 유효간극율 3~10% 정도) 경주지역의 각력층은 기질부가 극단적으로 연질한 경우로 노두 및 시추공에서 측연관찰시 겉모습들이 다양으로 포착되어 있어 팽창성 암반 상태를 유지하고 있다. 또한 경주지역의 각력층은 토사의 암밀영역으로부터 고결작용(cementation) 영역에 이르는 과정에 있으며 역과 기질부 사이의 틈, 각력층 자체의 절리들로 비교적 밟았하고 있는 상태이며 이들 각력층 사이에는 사암과 감탄층들이 혼재되어 있고 이 망성을 보인다. 비교적 각력층은 힘수에 의한 강도저하 현상, slaking, swelling 현상을 일으키기 좋은 조건으로 지하수 영향에 대한 분석이 필요할 것으로 판단된다.

참고문헌

- 건설교통부 무산국토관리청 (2004년), “경주지역 국도건설공사 일반보고서”, pp.113~174
- 부경대학교 지질환경연구소 (2003년), “경주~감포 일원에 대한 지질구조법학 연구 보고서”
- Medley E, Goodman RE (1994), “Estimating the block volumetric portion of melanges and similar block-in-matrix rocks(bimrocks)”, Proceedings of the First North American Rock Mechanics Conference (NARMS). Austin, Texas., Laubach SE, editors